

# تأثیر متابولیت‌های کاتچین حاصل از میکروبیوتای روده بر قدرت تکثیری رده سلولی Ca SKi

الناز خجسته<sup>۱</sup>، چنگیز احمدی زاده<sup>۱\*</sup>

گروه زیست شناسی، واحد اهر، دانشگاه آزاد اسلامی، اهر، ایران

تاریخ وصول: ۱۳۹۸/۱۱/۳۰ تاریخ پذیرش: ۱۳۹۸/۰۴/۲۷

## چکیده

**زمینه و هدف:** در ایران، سرطان دهانه رحم دومین عامل مرگ و میر در زنان می‌باشد. عفونت ویروس پاپیلوم مهم‌ترین عامل خطر برای توسعه سرطان دهانه رحم است. سلول Ca SKi یک سلول کارسینوم سرویکس انسانی است که ویروس پاپیلوم نوع ۱۶ را به ژنوم خود متصل می‌کند. کاتچین یک نوع فتل و متابولیت ثانویه یک گیاه است، پلیفنول‌ها علاوه بر نابودکردن رادیکال‌های آزاد با تسريع مرگ سلول‌های سرطانی از سلول‌های سالم نیز حفاظت می‌کند. هدف از این مطالعه تعیین و بررسی تأثیر متابولیت‌های کاتچین حاصل از میکروبیوتای روده بر قدرت تکثیری رده سلولی Ca SKi بود.

**روش بررسی:** در این مطالعه تجربی آزمایشگاهی که در سال ۱۳۹۷ انجام شد، متابولیت‌های کاتچین از نمونه‌های مدفوع حاوی میکروبیوتای روده به روش HPLC استخراج و رده سلولی با غلظت‌های مختلفی از کاتچین به مدت ۲۴ و ۴۸ ساعت تیمار شدند. اثرات سمیت سلولی عصاره سلول باکتری رده سلولی Ca SKi با استفاده از روش MTT بررسی شد. پس از استخراج RNA و تهیه cDNA، میزان بیان ژن bax و bcl2 در رده سلولی Ca SKi با استفاده از روش Real Time PCR مورد بررسی قرار گرفت.داده‌ها با استفاده از آزمون آماری آنالیز واریانس یک طرفه تجزیه و تحلیل شدند.

**یافته‌ها:** بیان ژن bax با افزایش دوزاژ موثر کاتچین در ۷۲ ساعت اول رابطه معنی‌داری پیدا نمی‌کند ( $p > 0.05$ )، اما با بالاتر رفتن دوزاژ شاهد تأثیر افزایش بیان معنی‌دار ژن bax هستیم. نتایج نشان داد بیان ژن bcl2 با افزایش دوزاژ موثر کاتچین در ۷۲ ساعت اول رابطه معنی‌داری پیدا می‌کند، این تغییر کاھشی است و رابطه مستقیمی با دوزاژ مؤثر دارد.

**نتیجه‌گیری:** کاتچین می‌تواند باعث افزایش بیان BCL2 در سلول‌های سرطانی شود که می‌توان جهت ایجاد یک راه کار نوین درمانی با تأثیر بالا، به عنوان درمان و همچنین پیشگیری از سرطان سرویکس و از ژن bax به عنوان پیش‌آگهی در سرطان دهانه رحم بهره جست.

**واژه‌های کلیدی:** کاتچین، میکروبیوتای روده، رده سلولی Ca SKi

**نویسنده مسئول:** چنگیز احمدی زاده، اهر، دانشگاه آزاد اسلامی، واحد اهر، گروه زیست شناسی

Email: dr\_ahmadizadeh@yahoo.com

## مقدمه

دستگاه گوارش و دستگاه تناسلی می‌شوند. HPV یکی از متداول‌ترین عوامل بیماری‌های مقابله‌ای (STD) است<sup>(۵)</sup>. عفونت پایدار با HPV‌های با خطر بالا سرطان‌زا باعث تمامی سرطان‌های سرویکس، بیشتر سرطان‌های مقعد و برخی از سرطان‌های Vulvar، واژن، آلت تناسلی و سرطان‌های اوروفارنژ می‌شوند<sup>(۶)</sup>. سلول Ca SKi یک سلول کارسینوم سرویکس انسانی است که حدود ۶۰۰ نسخه از ویروس پاپیلوم ویروسی نوع ۱۶ (HPV) را به ژنوم خود متصل می‌کند<sup>(۷)</sup>، تریلیون‌ها میکروب در روده انسان زندگی می‌کنند. این میکروب‌ها جامعه‌ای تشکیل می‌دهند که از طریق فعالیت‌های متابولیکی جمعی، بر روی میزبان تأثیرگذار هستند<sup>(۸)</sup>. نه تنها روده بلکه دستگاه گوارش انسان حاوی جمعیت پویایی از میکروب‌ها است که بیشتر آنها مفید و برخی از آنها خطرناک هستند. میکروب‌های موجود در روده که میکروب‌بیوتای روده‌ای نامیده می‌شوند بر انرژی‌زایی، عملکرد طبیعی بدن، سیستم ایمنی، چاقی، لاغری، سوءتفاوت، اختلال‌های عصبی، بیماری‌ها و به خصوص بیماری‌های روده‌ای و سرطان در انسان تأثیرگذار هستند. میکروب‌بیوتای روده مجموعه‌ای از باکتری‌ها، آرکی‌ها و یوکاریوت‌ها هستند که عمدهاً رابطه متقابل و سودمندی با انسان برقرار کرده‌اند. میکروب‌بیوتیم یا باکتری‌های موجود در بدن به خصوص روده (فلور

سرطان دهانه رحم بعد از سرطان پستان دومین بدھیمی شایع و سومین سرطان شایع دستگاه تناسلی زنان است<sup>(۱)</sup>. میزان بروز و شیوع سرطان‌های دستگاه تناسلی زنان در نقاط مختلف جهان، متفاوت است<sup>(۲)</sup>. سرطان‌های دهانه رحم، تخدمان و جسم رحم از جمله این سرطان‌ها می‌باشد<sup>(۳)</sup>. بر اساس آمار سازمان بهداشت جهانی حدود ۵۰۰۰۰۰ مورد جدید از این بیماری در هر سال ثبت می‌شود که از این میان ۲۵۰۰۰۰ مورد به مرگ منتهی می‌شود. عامل ۲۵ درصد از مرگ و میر زنان، تومورهای بدھیم است که ۱۸ درصد موارد ناشی از سرطان دهانه رحم می‌باشد. سرطان دهانه رحم به عنوان مشکل اساسی در کشورهای توسعه نیافته و یا در حال توسعه است. بیشترین میزان بروز این سرطان در جنوب امریکا، آفریقا و جنوب آسیا می‌باشد<sup>(۱)</sup>. سرطان سرویکس یا گردن رحم در لایه داخلی گردن رحم ایجاد می‌شود، منطقه‌ای که در بخش تحتانی رحم است و به داخل واژن پیش‌روی می‌کند. این روند معمولاً به مرور زمان ایجاد می‌شود. در اغلب موارد میزان ویروس در بدن به طور خود به خود کاهش یافته و مشکلی برای سلامت فرد ایجاد نمی‌کند، اما در غیر این صورت ایجاد زگیل‌های تناسلی و ابتلا به سرطان را در پی خواهد داشت<sup>(۴)</sup>. HPV شامل گروهی هتروژن از ویروس‌هایی است که باعث القاء تومورهای سلول سنگفرشی مانند: زگیل و پاپیلوماس روی پوست، غشاء مخاطی دستگاه تنفسی،

خود نشان دادند که کاتچین‌های چای سبز به عنوان یک آنتی‌اکسیدان قوی با مهار استرس اکسیداتیو و پراکسیداسیون لبییدی از تخریب بافتی جلوگیری می‌کند و نیز از طریق تقویت سیستم دفاع آنتی‌اکسیدانی موجب محافظت بافتی می‌شوند. همچنین می‌توانند میزان آنتی‌اکسیدان‌های آندوژن و فعالیت آنزیمهای آنتی‌اکسیدانی را افزایش دهند(۱۱). کرسپی و همکاران در مطالعه‌ای بیان کردند کاتچین به عنوان یک آنتی‌اکسیدان طبیعی ظرفیت آنتی‌اکسیدانی پلاسما را افزایش داده و موجب کاهش تجمع رادیکال‌های آزاد سلولی می‌شود. همچنین با کاهش شرایط استرس اکسیداتیو مانع از اثر عوامل جهش زا روی کروموزوم‌ها می‌شود(۱۲). لذا هدف از این مطالعه تعیین و بررسی تأثیر متابولیت‌های کاتچین حاصل از میکروبیوتای روده بر قدرت تکثیری رده سلولی Ca SKi بود.

### روش بررسی

در این مطالعه تجربی آزمایشگاهی که در سال ۱۳۹۷ انجام شد، این پروژه رده سلولی Ca SKi از بانک سلولی انیستیوپاستور تهیه گردید. سلول‌ها در داخل فلاسک حاوی ۹۰ سی سی محیط کشت DMEM دارای گلوكز کم غنی شده با ۵ درصد سرم جنین گاوی Fetal Bovine(Serum-FBS)، ۱۰۰ میکرونگیتر آنتی‌بیوتیک (penicillin and streptomycin) در انکوباتور در شرایط دمای ۳۷ درجه سانتی‌گراد و دی‌اکسیدکربن ۵ درصد کشت داده و سپس سلول‌ها پاساز داده شدند و با

روده) نقش مهمی در ایجاد یا پیشگیری التهاب بدن و در نتیجه پیشگیری از سرطان ایفا می‌کند(۸). کاتچین یک نوع فنل و متابولیت ثانویه یک گیاه است، نام خانواده شیمیایی کاتچین از کَتِچو گرفته شده است، که آب مازویی یا عصاره چای سیاه کاتچین‌ها به است. در چای سبز به نسبت چای سیاه کاتچین‌ها به مقدار قابل ملاحظه‌ای یافت می‌شوند. پلی‌فنول‌ها رایج‌ترین آنتی‌اکسیدان‌های مواد غذایی هستند و از طریق مهار رادیکال‌های آزاد نقش مهمی در پیشگیری از بیماری‌های مزمن از جمله سرطان دارند. رادیکال‌های آزاد با حمله به غشای سیتوپلاسمی سلول و نابود کردن آن، به DNA داخل سلول دسترسی پیدا می‌کنند و از طریق تغییر DNA باعث سرطان می‌شوند. پلی‌فنول‌ها علاوه بر نابود کردن رادیکال‌های آزاد با تسريع مرگ سلول‌های سرطانی از سلول‌های سالم نیز حفاظت می‌کنند(۹). یک ژن ضدآپوپتوزی می‌باشد که بقای سلول را پیش می‌برد در حالی که bax یک ژن پروآپوپتوزی بوده که منجر به پیشبرد مرگ سلولی می‌گردد. محصول ژن Bcl-2 در تحریک رشد و بقا و مهار مرگ سلولی برنامه‌ریزی شده نقش ایفا می‌کند، در حالی که پروتئین bax سبب القای مرگ سلولی برنامه‌ریزی شده در سلول‌ها شده و عملکردی برخلاف پروتئین BCL-2 دارد. پروتئین‌ها ساختارهای همودایمر و هترودایمر را تشکیل می‌دهند، این دو پروتئین فاکتورهای مرتبط با هم هستند که فرآیند مرگ سلولی برنامه‌ریزی شده را تنظیم می‌کنند(۱۰). سنانایاکه و همکاران در مطالعه

رویی دور ریخته و داخل هر کدام ۱۰۰ میکرولیتر از DMSO اضافه شد تا فورمازان شکل گیرد. جذب نوری فورمازان در طول موج ۵۷۰ با استفاده از خوانشگر ELISA اندازه گرفته شد. با به کارگیری جذب نوری کنترل، بلانک و نمونه، درصد حیاتی سلولها به دنبال تأثیر کاتچین (IC50) مورد بررسی قرار گرفت. این مقدار از روی نمودار با استفاده از نرم افزار Excel تعیین گشت(۱۵).

برای جداسازی RNA توتال از پروتئین و DNA استخراج شده از نمونه های مورد آزمایش با استفاده از روش پیشنهادی شرکت سازنده(CinnaGen, Iran) به روش زیر عمل گردید. یک میلی لیتر محلول RNXTM-PLUS به هر یک از چاهکها افزوده شد و سپس به مدت ۵ دقیقه در دمای اتاق انکوبه شد و سوپسپانسیون به میکروتیوب های ۱/۵ میلی لیتری DNase Free RNase Free میکروتیوب ۲۰۰ میکرولیتر کلروفرم افزوده شد و میکروتیوب ۵ دقیقه در دمای ۴ درجه سانتی گراد انکوبه گردید و در ادامه به مدت ۱۵ دقیقه در دمای ۴ درجه سانتی گراد و ۱۲۰۰۰ RPM سانتریفیوژ گردید. فاز رویی که حاوی RNA بود جداسازی شده به محلول جدا شده حجم مساوی از ایزوپروپانول اضافه شد و ۱۵ دقیقه دمای ۴ درجه سانتی گراد انکوبه شد. میکروتیوب به مدت ۱۵ دقیقه در دمای ۴ درجه سانتی گراد و ۱۲۰۰۰ RPM سانتریفیوژ شده و ۱ میلی لیتر اتانول ۷۵ درصد به میکروتیوب

شمارش سلول ها و با توجه به محاسبات مربوط به Seedind density مورد نظر برای انجام آزمایش ها، مقدار مورد نیاز از سوپسپانسیون سلولی را به وسیله محیط کشت کامل به حجم مورد نظر رسانده و بعد از بررسی فلاسک مورد نظر به وسیله میکروسکوپ در انکوباتور قرار گرفت(۱۲).

متابولیت های کاتچین از نمونه های مدفع حاوی میکروبیوتای روده به روش HPLC استخراج و با غلظت های (۱۰، ۵۰ و ۱۰۰) نانومولی از کاتچین به مدت ۲۴ و ۴۸ ساعت تیمار شدند(۱۴).

اثر سایتو توکس یک باکتری بر روی سلول های سرطانی باروش رنگ سنجی، با استفاده از رنگ ترازولیوم با نام شیمیایی Tetrazolium 3-(4,5-dimethylthiazol-2yl)-2,5-diphenylbromide که اختصاراً MTT (Merck آلمان) نامیده می شود، بررسی شد. سلول های رده CA-SKI در چاهک های ۹۶ تایی به تعداد متوسط ۵۰۰۰ سلول در هر چاهک و در دمای ۳۷ درجه سانتی گراد همراه با ۵ درصد CO<sub>2</sub> و ۹۵ درصد رطوبت به مدت ۲۴ ساعت کشت داده شدند. سپس سلول ها با غلظت های مختلف از کاتچین شامل ۱۰، ۵۰ و ۱۰۰ نانومول بر لیتر به مدت ۲۴ و ۴۸ ساعت تیمار شدند. از هر دوزاژ کاتچین در ۳ چاهک تکرار صورت گرفت. پس از این مدت داخل هر کدام از چاهکها ۲۰ میکرولیتر از پودر MTT (۱ میلی گرم بر میلی لیتر) اضافه و انکوبه شد. بعد از گذشت ۴ ساعت پلیت ها از انکوباتور خارج و مایع

بیان ژن GAPDH اندازه گرفته و در واقع نرمالیزه شد.  
مقادیر نرمالیزه (واحد نسبی) به وسیله کالیبراتور  
داخلی (نمونه‌های کنترل هر آزمایش) استاندارد سازی  
شدند.

واکنش Real time PCR به صورت تکرارهای آتایی صورت گرفت. بدین شکل که در تیوب‌های مخصوص cDNA Real time PCR و ماسترمیکس سایبرگرین حاوی ۱ ماکرولیتر پرایمر فوروارد، ۱ ماکرولیتر پرایمر ریورن، ۷ ماکرولیتر Mastermix ۱x و ۱۰ ماکرولیتر Diethyl Pyrocarbonate run ریخته شد. بعد تیوب‌ها را در دستگاه Real time PCR قرار داده و دستگاه گردید (جدول ۳ و ۲).

آزمون‌ها زمانی معنی‌دار در نظر گرفته شدند که مقدار کمتر از ۵٪ بود و سپس نسبت بیان ژن نسبت به ژن رفرنس (GAPDH) محاسبه شد، فرمول محاسبات به شرح ذیل می‌باشد (۱۷).

$$\text{ratio} = \frac{(E_{\text{target}})^{\Delta CP_{\text{target}}(\text{control-sample})}}{(E_{\text{ref}})^{\Delta CP_{\text{ref}}(\text{control-sample})}}$$

داده‌ها با استفاده از نرم‌افزار SPSS و آنالیز واریانس یک طرفه تجزیه و تحلیل شدند و برای مقایسه میانگین گروه‌ها از آزمون حداقل اختلاف معنی‌دار (LSD) استفاده گردید.

اضافه گردید. بلافاصله میکروتیوب به مدت ۱۵ دقیقه در دمای ۴ درجه سانتی‌گراد و ۷۵۰۰ RPM سانتریفیوژ شد، به هر میکروتیوب ۱۰ میکرولیتر DEPC-treated water افزوده شد. به منظور بررسی کیفیت RNA های استخراج شده، ۵ نمونه به صورت راندوم بر روی ژل آگارز ۲ درصد الکتروفورز شد.

۱ میکروگرم از RNA total که با ۰/۲ ماکرومولار هگزامر پرایمر و ۱ ماکرولیتر ۱۰ dNTP و آب mM mix Diethyl Pyrocarbonate مخلوط کرده و انکوبه شد، سپس ۵ یونیت آنزیم RT (MMLV) ساخت شرکت Thermo Fisher، بافر (x) buffer for MMLV RT، یک یونیت بر ماکرولیتر مهارگر RNase را افزوده و در واقع در انتهای حجم کلی هر تیوب باید ۲۰ ماکرولیتر شود، بعد تیوب‌ها را در دستگاه PCR قرار داده شد و DNA میکرو سنتز شدند (۱۶).

برای اندازه‌گیری میزان بیان BAX و ژن BCL2 از دستگاه Eco illumine استفاده شد. جفت پرایمرهای Primer3 مربوط به هر ژن با استفاده از نرم‌افزار طراحی و (Bioneer Co., South Korea) سنتز شده و برای کار با غلظت نهایی ۱۰۰ نانومولار مورد استفاده قرار گرفته‌اند (جدول ۱). واکنش‌ها بر مبنای استفاده از رنگ Syber greenl انجام گرفت. رنگ Syber greenl طی واکنش PCR به DNA دو رشته‌ای متصل شده و نور فلورسنت ساطع می‌کند. بیان ژن bcl2 و bax نسبت به

جدول ۱: پرایمر های مورد استفاده در Real-Time PCR

نام آغازگر (شماره دسترسی)	توالی آغازگر	اندازه محصول PCR (bp)	Tm آغازگر
GAPDH-F(2597)	GTGACTAACCTGCGCTCC	۹۹	۶۰/۶۰
GAPDH-R	ATCACCCGGAGGAGAAATCG		۵۹/۳۰
Bcl-2 F	TGTGGATGACTGAGTACCTGAACC	۱۲۲	۶۸
Bcl-2 R	CAGGCAGGAGAAATCAAACAGAG		۶۸
Bax F	TTGCTTCAGGGTTCATCCAG	۱۰۱	۶۱
Bax R	AGCTTCTGGTGGACGCATC		۶۱

جدول ۲: سیکل های به کار برده شده برای انجام Real-Time PCR ژن GAPDH و BAX

مرحله	دما (درجه سانتی گراد)	زمان (ثانیه)	تعداد تکرار
فعال سازی اولیه	۹۵	۳۰	۱
جداسازی	۹۵	۲۰	
اتصال و طویل سازی	۶۰	۴۰	۴۵
از ۶۵ درجه سانتی گراد به ۹۵ درجه سانتی گراد با افزایش ۵/۰ درجه ای دما به ازای هر سیکل			منحنی ذوب

جدول ۳: پروتکل سیکل های به کار برده شده برای انجام Real-Time PCR ژن Bcl2 و GAPDH

مرحله	دما (درجه سانتی گراد)	زمان (ثانیه)	تعداد تکرار
فعال سازی اولیه	۹۵	۳۰	۱
جداسازی	۹۵	۲۰	
اتصال و طویل سازی	۶۰	۴۰	۴۵
از ۶۵ درجه سانتی گراد به ۹۵ درجه سانتی گراد با افزایش ۵/۰ درجه ای دما به ازای هر سیکل			منحنی ذوب

## Real-time RT- PCR

پس از استخراج RNA طبق دستور العمل کیت

یافته ها

شرکت سازنده، برای کنترل کیفیت و محاسبه غلظت،

ابتدا محدوده IC50 و یا به عبارتی غلظتی از

الکتروفورز بر روی ژل آگارز انجام شد(شکل ۱).

دارو که ۵۰ درصد رشد سلول ها را در

بیان ژن BCL2 در رده سلولی CA-SKI پس از

مقایسه با کنترل مهار می کند، تعیین شد.

مجاورت های دوزاژی مختلف و در بازه زمانی ۲۴ الی

نتایج حاکی از سمیت واپسیه به دوز برای Ca SKI

۷۲ ساعت مورد ارزیابی قرار گرفت. نتایج حاصل

هستند. تا جایی که این دارو در غلظت ۸۰ نانومول بر

نشان داد بیان ژن BCL2 با افزایش

لیتر منجر به کاهش ۵۱ درصدی حیات

دو زاژ مؤثر کاتچین در ۷۲ ساعت اول

سلولی Ca Ski در مدت زمان ۴۸ ساعت

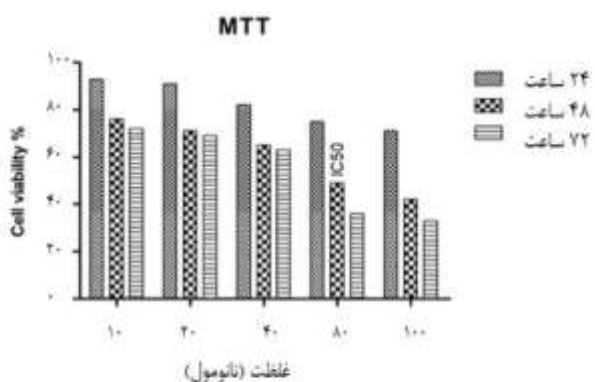
رابطه معنی داری پیدا می کند(p&lt;0.05) (نمودار ۲)، این

گردید(نمودار ۱).

نشان داد بیان ژن *bax* با افزایش دوزاژ مؤثر کاتچین در ۷۲ ساعت اول رابطه معنی‌داری پیدا نشد( $p > 0.05$ ) (نمودار ۳)، اما با بالاتر رفتن دوزاژ تأثیر شاهد افزایش بیان معنی‌دار ژن *bax* هستیم، این افزایش بیان از نظر آماری معنی‌دار نیست.

تغییر کاهشی است و رابطه مستقیمی با دوزاژ مؤثر دارد.

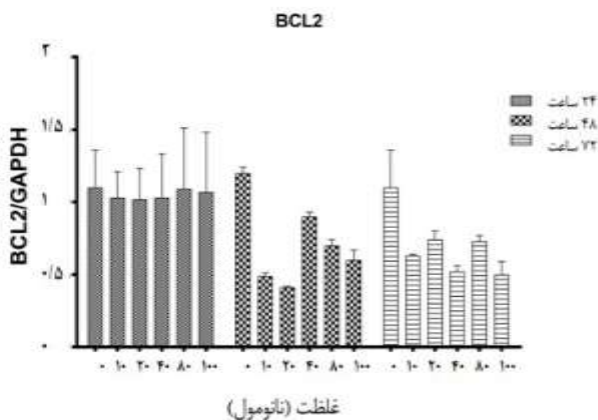
بیان ژن *bax* در رده سلولی Ca-Ski پس از مجاورت‌های دوزاژی مختلف و در بازه زمانی ۲۴ الی ۷۲ ساعت مورد ارزیابی قرار گرفت. نتایج حاصل



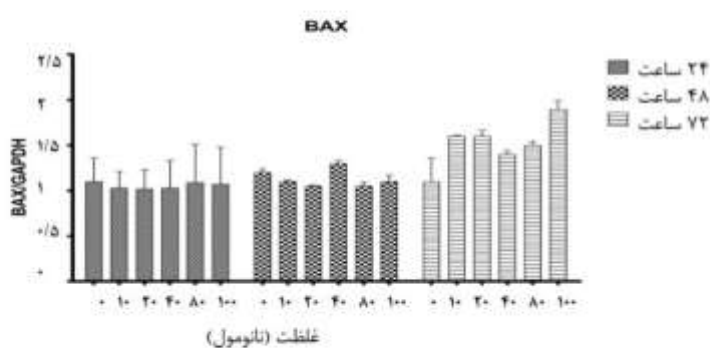
نمودار ۱: تأثیر غلظت‌های مختلف کاتچین بر حسب نانومول بر لیتر در واحد زمان بر میزان زندگانی سلول‌های رده Ca SKi



شکل ۱: زیرواحدهای 28S و 18S حاصل از الکتروفورز RNA استخراجی در رده سلولی Ca SKi



نمودار ۲. تغییر بیان ژن *BCL2* در رده سلولی Ca-Ski در مجاورت‌های دوزاژی مختلف از کاتچین، در بازه زمانی ۲۴ الی ۷۲ ساعت



نمودار ۳: تغییر بیان ژن *BAX* در رده سلولی Ca-Ski در مجاورت‌های دوزاژی مختلف از کاتچین، در بازه زمانی ۲۴ الی ۷۲ ساعت

## بحث

نتایج این مطالعه نشان داد بیان ژن *bax* با افزایش دوزاژ مؤثر کاتچین در ۷۲ ساعت اول رابطه معنی‌داری پیدا نمی‌کند، اما با بالاتر رفتن دوزاژ شاهد تأثیر افزایش بیان معنی‌دار ژن *bax* هستیم. نتایج نشان داد بیان ژن *bcl2* با افزایش دوزاژ مؤثر کاتچین در ۷۲ ساعت اول رابطه معنی‌داری پیدا نمی‌کند، این تغییر کاهشی است و رابطه مستقیمی با دوزاژ مؤثر دارد. *Bcl-2* یک ژن ضد آپوپتوزی می‌باشد که بقای سلول را پیش می‌برد در حالی که *bax* یک ژن پروآپوپتوزی بوده که منجر به پیشبرد مرگ سلولی می‌گردد. محصول ژن *Bcl-2* در تحریک رشد و بقا و مهار مرگ سلولی برنامه‌ریزی شده نقش ایفا می‌کند. در حالی که پروتئین *BAX* سبب القای مرگ سلولی برنامه‌ریزی شده در سلول‌ها شده و عملکردی برخلاف پروتئین *BCL-2* دارد. پروتئین‌ها ساختارهای همودایمر و هترودایمر را تشکیل می‌دهند، این دو پروتئین فاکتورهای مرتبطی با هم هستند که فرآیند مرگ سلولی برنامه‌ریزی شده را تنظیم می‌کنند<sup>(7)</sup>. حاریما ارتباطی بین پاسخ به RT از بیماران سرطان دهانه رحم و میزان بیان *bax* و *Bcl-2* قبل از RT نشان نداد<sup>(18)</sup>. اولتوی و همکاران گزارش دادند که همودایمراه را با *bcl-2* در *in vivo* شکل می‌دهد و نسبت *Bcl-2* به *bax* بقا یا مرگ را به دنبال محرك آپوپتوزیک تعیین می‌کند<sup>(19)</sup>. ژیلت بیان کرد یکی از ژن‌ها *bcl-2* است که یک پروتئین سلولی مرتبط با غشای سلولی پلاسمای سلول اندوپلاسمی و میتوکندری است که در شکل پیچیده، مانع از مرگ سلولی در شرایط خاص

سرطان سرویکس یا گردن رحم در لایه داخلی گردن رحم ایجاد می‌شود<sup>(4)</sup>. سلول Ca SKi یک سلول کارسینوم سرویکس انسانی است که حدود ۶۰۰ نسخه از ویروس پاپیلوم ویروسی نوع ۱۶ (HPV 16) را به ژنوم خود متصل می‌کند<sup>(7)</sup>، تریلیون‌ها میکروب در روده انسان زندگی می‌کنند. این میکروب‌ها جامعه‌ای تشکیل می‌دهند که از طریق فعالیت‌های متابولیکی جمعی، بر روی میزبان تأثیرگذار هستند. نه تنها روده بلکه دستگاه گوارش انسان حاوی جمعیت پویایی از میکروب‌ها است که بیشتر آنها مفید و برخی از آنها خطرناک هستند. میکروب‌های موجود در روده که میکروبیوتای روده‌ای نامیده می‌شوند بر انرژی‌زایی، عملکرد طبیعی بدن، سیستم ایمنی، چاقی، لاغری، سوءتعذیه، اختلال‌های عصبی و بیماری‌های خصوص بیماری‌های روده‌ای و سرطان در انسان تأثیرگذار هستند<sup>(8)</sup>. کاتچین یک نوع فنل و متابولیت ثانویه یک گیاه است. پلی فنول‌ها رایج‌ترین آنتی‌اکسیدان‌های مواد غذایی هستند و از طریق مهار رادیکال‌های آزاد نقش مهمی در پیشگیری از بیماری‌های مزمن از جمله سرطان دارند<sup>(9)</sup>، لذا هدف از این مطالعه تعیین و بررسی تأثیر متابولیت‌های کاتچین حاصل از میکروبیوتای روده بر قدرت تکثیری رده سلولی Ca SKi بود.

خانواده ۲, *bcl-2*, با تنظیم نفوذپذیری غشاء، از تنظیم کننده‌های اصلی این روند هستند(۲۶). و و همکاران در مطالعه خود نشان داده‌اند که بیان بالایی از *bcl-2* ممکن است کننده بالا دستی ژن *bax* عمل می‌کند. این ژن *Bax* سرکوبگر تومور، به ناحیه پروموتور ژن *bax* متصل شده و مستقیماً باعث ترانس اکتیواسیون این ژن پیش آپوپتوزی می‌شود. پروموتور *bax* تنها با نوع وحشی و نه موتابسیون یافته *m53*، فعال می‌شود و به همین دلیل بین میزان *b53* و بیان *m53* محدود شد. برخی از نویسندهای نتیجه می‌گیرند که *bax* می‌تواند ارتباط وجود داشته باشد(۲۷). یکی از مسیرهای درگیر در آپوپتوز، مسیر درونی(یا مسیر میتوکندریایی) است. در این مسیر، تغییرات مختلف درون سلولی از جمله شرایط تنش‌های اکسیداتیو، آسیب DNA و جهش در ژن‌های مسئول در آپوپتوز می‌توانند به عنوان سیگنال‌های داخلی عمل کنند. این سیگنال‌ها منجر به برهمکنش‌های پروتئین‌های ویژه‌ای از خانواده‌ای به نام خانواده ۲-*Bcl* (Family 2-*Bcl*) شده است؛ از این طریق، سیتوکروم C از فضای بین دو غشاء میتوکندری وارد سیتوزول می‌گردد و با تشکیل کمپلکسی به نام آپوپتوزوم، مسیر آبشاری کاسپازها فعال می‌شود(۲۸). تروشووا در مطالعه خود نشان دادند که ژن *bax* یک نقطه ورود منحصر به فرد برای مسیر سیگنالینگ آپوپتوز درونی است. این مسیر به وسیله محرک‌های مختلف از جمله محرومیت سیتوکین و استرس سیتوکسیک آغاز می‌شود. پروتوآنکوژن ۲ *bcl-2* به عنوان یک مهارکننده آپوپتوز شناخته شده که سبب تجمع و انتشار سلول‌های

می‌شود(۲۰). دیمیتراکاکیس و همکاران در مطالعه خود نشان داده‌اند که بیان بالایی از *bcl-2* ممکن است به پیش‌آگهی خوب در چندین سرطان مانند؛ سرطان پستان، تخدان و سرطان دهانه رحم و همچنین لنفوم مربوط باشد(۲۱). در پژوهش‌های چانگ، بیان پروتئین *bcl-2* در پیشرفت ضایعات دهانی تقریباً غایب نبود(۲۲). مطالعه اوهارا و همکاران نشان می‌دهد در حال حاضر، *bcl-2* بیان صرف نظر از درجه‌بندی بافتی یا پیشرفت SII به لایه سلول پایه در تمام بیوپسی‌ها محدود شد. برخی از نویسندهای نتیجه می‌گیرند که بیان *bcl-2* ممکن است نشانگر خوبی برای پیش‌بینی پیشرفت ضایعات گردنی نباشد(۲۳). پژوهش‌های نیکاسون نشان داد که پروتئین‌های خانواده *Bcl-2* یکپارچگی غشاء خارجی بر میزانبقاء میتوکندری را حفظ می‌کنند و از اعضاء آنتی آپوپوتیک و پروآپوپوتیک تشکیل شده‌اند. این خانواده آزاد شدن سیتوکروم C به درون سیتوزول و در نتیجه فعال شدن caspase-۳ را تنظیم می‌کند(۲۴). پژوهش‌های گرین و همکاران بر روی کشت کاردیومایوسیت‌های نیز نشان دادند که داکسوروبریسین موجب افزایش بیان ژن *bax* و از طرفی موجب کاهش بیان ژن *Bcl-2* و در نهایت موجب القاء آپوپتوز در کاردیومایوسیت‌ها شده است(۲۵). بیدنر و همکاران در مطالعه خود نشان دادند که آپوپتوز به وسیله تأثیر متقابل تعداد زیادی از ژن‌هایی که مسئول تحریک یا تنظیم آپوپتوز هستند کنترل می‌شود. اعضای

راه کار نوین درمانی با تأثیر بالا، به عنوان درمان و همچنین پیشگیری از سرطان سرویکس و از ژن *bax* به عنوان پیش آگهی در سرطان دهانه رحم بهره جست.

#### تقدیر و تشکر

این مقاله برگرفته از پایاننامه دوره کارشناسی ارشد رشته ژنتیک با کد ۲۲۰۳۰۵۰۳۹۷۱۰۰۶ دانشگاه آزاد اسلامی واحد اهر می‌باشد. نویسندهای این مقاله از دانشگاه آزاد اسلامی واحد اهر و تمامی پژوهشی دانشگاه آزاد اسلامی واحد اهر و تمامی کسانی که در طول اجرای این پژوهش مارا یاری کردند تقدیر و تشکر به عمل می‌آید.

حاوی تغییرات ژنتیکی شده و به نظر می‌رسد فعالیت غیرطبیعی ژن *bcl-2* می‌تواند سبب مهار آپوپتوز و تسهیل فرآیند تومورزاکی گردد(۲۹). در مطالعه هریکاک تیمار کاتچین هیدرات موجب افزایش بیان آنزیمهای استیل کولین ترانسفراز و نیتریک اکسید سنتتاز القائی و کاهش سطح واسطه‌های التهابی *TNF-a L1B* نظیر شد. این مطالعه مشخص کرد که کاتچین هیدرات در جلوگیری از تخریب حافظه و بهبود استرس اکسیداتیو مؤثر است که با مطالعه حاضر هم خوانی دارد(۳۰). فولن و همکاران در مطالعه‌ای بیان کردند که کورکومین قادر است آپاپتوز را در سلول‌های سرطانی از طریق تمام مسیرهای آپاپتوزی (ER stress pathway& Extrinsic) القا کند که با مطالعه حاضر هم خوانی دارد(۳۱). مطالعه صورت گرفته به وسیله شیانگ نشان دادند که کاتچین هیدرات باعث القاء آپوپتوز وابسته به *P53* و کاسپاز در سلول‌های سرطان پستان انسانی می‌شود.(۳۲).

پیشنهاد می‌شود تأثیر کورکومین و کاتچین بر سایر ژن‌های دخیل در آپوپتوز و تأثیر کاتچین و کورکومین در سایر رده‌های سلولی سرطانی و تأثیر سایر مواد حاصل میکروبیوتیک‌های رده سلولی Ca-Ski و تأثیر کاتچین و کورکومین بر روی سلول‌های سرطانی در نمونه‌های بالینی بررسی شود.

#### نتیجه‌گیری

کاتچین می‌تواند باعث افزایش بیان *BCL2* در سلول‌های سرطانی شود که می‌توان جهت ایجاد یک

## REFERENCES

- 1.Hong S, Cheng S, Songock W, Bodily J, Laimins LA. Suppression of microRNA 424 levels by human papillomaviruses is necessary for differentiation-dependent genome amplification. *J Virol* 2017; 91(24): e01712-17.
- 2.Babazadeh M, Pourali L, Attaran N, Nikfarjam Z, Masoudi T, Salehi M. Demographic survey of 600 patients with gynecologic cancers in Mashhad, Iran in 1985-2012. *IJOGI* 2016; 19(3): 1-8.
- 3.Almasi-Hashiani A, Farahmand M. Trend of incidence rate for female genital cancers based on cancer registry data in Fars province during 2003-2009. *Feyz* 2012; 16(4): 353-60.
- 4.Li BH, Zhou JS, Ye F, Cheng XD, Zhou CY, Lu WG, Xie X. Reduced miR-100 expression in cervical cancer and precursors and its carcinogenic effect through targeting PLK1 protein. *Eur J Cancer* 2011; 47(14): 2166-74.
- 5.Martinez I, Gardiner AS, Board KF, Monzon FA, Edwards RP, Khan SA. Human papillomavirus type 16 reduces the expression of microRNA-218 in cervical carcinoma cells. *Oncogene* 2008; 27(18): 2575-82.
- 6.Deftereos G, Corrie SR, Feng Q, Morihara J, Stern J, Hawes SE, Kiviat NB. Expression of mir-21 and mir-143 in cervical specimens ranging from histologically normal through to invasive cervical cancer. *PloS One* 2011; 6(12): e28423.
- 7.Liu C, Lin J, Li L, Zhang Y, Chen W, Cao Z, et al. HPV16 early gene E5 specifically reduces miRNA-196a in cervical cancer cells. *Scientific reports*. *Sci Rep* 2015; 5: 7653.
- 8.Lozupone CA, Stombaugh JI, Gordon JI, Jansson JK, Knight R. Diversity, stability and resilience of the human gut microbiota. *Nature* 2012; 489(7415): 220-30.
- 9.Shishodia G, Shukla S, Srivastava Y, Masaldan S, Mehta S, Bhamhani S, Sharma S, et al. Alterations in microRNAs miR-21 and let-7a correlate with aberrant STAT3 signaling and downstream effects during cervical carcinogenesis. *Mol Cancer* 2015; 14: 116.
- 10.Tan C, Dlugosz PJ, Peng J, Zhang Z, Lapolla SM, Plafker SM, et al. Autoactivation of the apoptosis protein Bax increases mitochondrial membrane permeability and is inhibited by Bcl-2. *J Biol Chem* 2006; 281(21): 14764-75.
- 11.Senanayake SPJN. Green tea extract: Chemistry, antioxidant properties and food applications - A review. *J Funct Foods* 2013; 5(4): 1529-41.
- 12.Crespy V, Williamson G. A review of the health effects of green tea catechins in in vivo animal models. *J Nutr* 2004; 134(12): 3431-40.
- 13.Dürst M, Gissmann L, Ikenberg H, Zur Hausen H. A papillomavirus DNA from a cervical carcinoma and its prevalence in cancer biopsy samples from different geographic regions. *Proceedings of the National Academy of Sciences*. *Proc Natl Acad Sci USA* 1983; 80(12): 3812-5.
- 14.Rafaela Macedo Mendes de OLIVEIRA. Quantification of catechins and caffeine from green tea (*Camellia sinensis*) infusions, extract, and ready-to-drink beverages. *Ciênc Tecnol Aliment Campinas* 2012; 32(1): 163-6.
- 15.Bosch FX. Human papillomavirus: science and technologies for the elimination of cervical cancer. *Expert Opin Pharmacother* 2011; 12(21): 2189-204.
- 16.Bergstrom R, Sparen P, Adami HO. Trends in cancer of the cervix uteri in Sweden following cytological screening. *Br J Cancer* 1999; 81: 159-66.
- 17.Sattari SH, Ahmadizadeh CH. The study of expression of *PTEN* and *AKT1* genes in co-culturing of HT29 colon cancer cell line with *Streptococcus thermophilus*. *Feyz* 2019; 22(6): 624-31.
- 18.Harima Y, Harima K, Shikata N, Oka A, Ohnishi T, Tanaka Y. Bax and Bcl-2 expressions predict response to radiotherapy in human cervical cancer. *J Cancer Res Clin Oncol* 1998; 124: 503-10.
19. Oltvai ZN, Milliman CL, Korsmeyer SJ. Bcl-2 heterodimerizes in vivo with a conserved homolog, bax, that accelerates programmed cell death. *Cell* 1993; 74: 609-19.
20. Gillet G, Brun G. Viral inhibition of apoptosis. *Trends Microbiol* 1996; 4: 312-7.
- 21.Dimitrakakis C, Kymionis G, Diakomanolis E, Papaspyrou I, Rodolakis A, Arzimanoglou I, et al. The possible role of p53 and bcl-2 expression in cervical carcinomas and their premalignant lesions. *Gynecol Oncol* 2000; 77: 129-36.
22. Chang KC, Su IJ, Tsai ST, Shieh DB, Jin YT. Pathological features of betel quid-related oral epithelial lesions in Taiwan with special emphasis on the tumor progression and human papillomavirus association. *Oncology* 2002; 63(4): 362-9.
- 23.Uehara T, Kuwashima Y, Izumo T, Kishi K, Shiromizu K, Matsuzawa M. Expression of the proto-oncogene bcl-2 in uterine cervical squamous cell carcinoma: its relationship to clinical outcome. *Eur J Gynaecol Oncol* 1995; 16(6): 453-60.

- 24.Nicholson DW, Thornberry NA. Apoptosis. Life and death decisions. *Science* 2003; 299(5604): 214-5.
- 25.Green PS, Leeuwenburgh C. Mitochondrial dysfunction is an early indicator of doxorubicin-induced apoptosis. *Biochim Biophys Acta* 2002; 1588(1): 94-101.
- 26.Bedner E, Li X, Kunicki J, Darzynkiewicz Z. Translocation of Bax to mitochondria during apoptosis measured by laser scanning cytometry. *Cytometry* 2000; 41(2): 83-8.
- 27.Wu X, Deng Y. Bax and BH3-domain-only proteins in p53-mediated apoptosis. *Front Biosci* 2002; 7: d151-6.
- 28.Sinicroppe FA, Cleary KR, Stephens LC, Lee JJ, Levin B. bcl-2 and p53 oncoprotein expression during colorectal tumorigenesis. *Cancer Res* 1995; 55(2): 237-41.
- 29.Trusheva B, Trunkova D, Bankova V. Different extraction methods of biologically active components from propolis. Suppression of microRNA 424 levels by human papillomaviruses is necessary for differentiation-dependent genome amplification. *J Virol* 2017; 91(24): e01712-17.
- 30.Hricak H, Gatsoulis C, Coakley FV, Snyder B, Reinhold C, Schwartz LH, et al. Early invasive cervical cancer: CT and MR imaging in preoperative evaluation—ACRIN/GOG comparative study of diagnostic performance and interobserver variability. *Radiology* 2007; 245(2): 491-8.
- 31.Follen M, Levenback CF, Iyer RB, Grigsby PW, Boss EA, Delpassand ES, et al. Imaging in cervical cancer . *Cancer* 2003; 98(20): 28-38.
- 32.Xiang LP, Wang A, Ye JH, Zheng XQ, Polito CA, Lu JL, et al. Suppressive Effects of Tea Catechins on Breast Cancer. *Nutrients* 2016; 8: 458-72.

# The Effect of Catechin Metabolites Derived from Intestinal Microbiota on Ca SKi Cell Proliferation

Khojaste E<sup>1</sup>, Ahmadizadeh CH<sup>1\*</sup>

Department of Bioogy, Ahar Branch, Islamic Azad university, Ahar , Iran

Received: 20 Des 2019      Accepted: 27 Jan 2020

## Abstract

**Background & aim:** Cervical cancer is the second leading cause of death in women in Iran. Papillomavirus infection is the most important risk factor for developing cervical cancer. Ca SKi cell is a human cervical carcinoma cell that attaches the papillomavirus type 16 to its genome. Catechin is a phenol and a secondary metabolite of a plant. The aim of this study was to determine the effect of catechin metabolites derived from intestinal microbiota on the proliferative capacity of Ca SKi cell line.

**Methods:** In the present in vitro experimental study, catechin metabolites were extracted from fecal samples containing intestinal microbiota by HPLC method and cell line was treated with different concentrations of catechin for 24 and 48 hours. The cytotoxic effects of Ca SKi bacterial cell extract were investigated by MTT assay. After RNA extraction and cDNA preparation, the expression of bax, bcl2 gene in Ca SKi cell line was examined by Real Time PCR. Data were analyzed using one-way analysis of variance

**Results:** No significant associaton was obseerved with increasing *bax* gene expression and the effective dose of catechin in the first 72 hours ( $p > 0.05$ ), but with increasing dose effect, a significant increase in *bax* gene expression was seen. The results indicated that the expression of *bcl2* gene was significantly related to the increase in the effective dose of catechin in the first 72 hours. This change was decreasing and had a direct relationship with the effective dose.

**Conclusion:** Catechin may increase the expression of *BCL2* in cancer cells, which could be used as a treatment as well as prevention of cervical cancer and *bax* gene as a prognosis in cervical cancer to develop a new therapeutic effect.

**Keywords:** Catechin, Intestinal Microbiota, Ca Ski Cell Line

---

\*Corresponding author: Ahmadizadeh CH, Department of bioogy, Ahar Branch, Islamic Azad university, Ahar, Iran

Email: dr\_ahmadizadeh@yahoo.com

Please cite this article as follows:

Khojaste E, Ahmadizadeh CH. The Effect of Catechin Metabolites Derived from Intestinal Microbiota on Ca SKi Cell Proliferation. Armaghane-danesh 2020; 25(5): 657-670.